

# Wstęp do Modelu Standardowego

## Przekroje czynne i rozpady, czyli, gdzie teoria spotyka eksperyment

**Agnieszka Obłąkowska-Mucha**

Wydział Fizyki i Informatyki Stosowanej

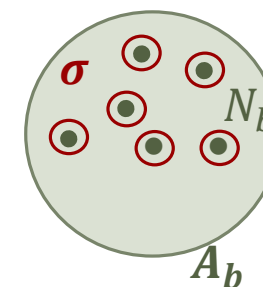
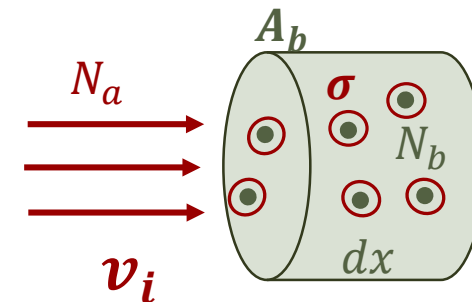
# Przekrój czynny

- Przekrój czynny jest miarą prawdopodobieństwa oddziaływania.
- Geometrycznie jest to powierzchnia centrów rozpraszania, takich, że jak cząstka w nie trafi, to zajdzie oddziaływanie

$$P = \frac{\sigma}{A_b} = n_b v_a A_b dt \frac{\sigma}{A_b} = n_b v_a \sigma dt$$

$$R_a = \underbrace{\frac{N_a}{A t}} N_b \sigma$$

$\Phi_a = n_a v_i$  strumień cząstek **a**



Problem: strumień cząstek (flux) nie jest niezmienniczy lorenzowsko, dla każdego procesu należy go wyznaczać oddzielnie.

Można pokazać (M.Thomson), że strumień w niezmienniczej postaci wyrażony jest poprzez:

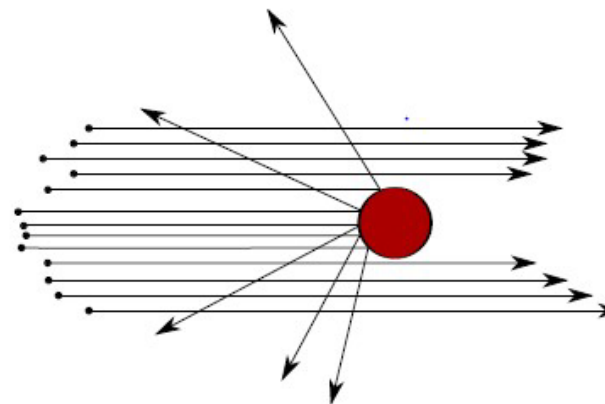
$$F = 4 \left[ (p_a \cdot p_b)^2 - m_a^2 m_b^2 \right]^{1/2}$$

# Przekrój czynny

- Rozważmy proces:  $a + b \rightarrow c + d$
- Przekrój czynny:

$$\sigma = \frac{\text{Liczba zdarzeń na liczbę cząstek tarczy/czas}}{\text{strumień cząstek "a"}}$$

$$= \frac{W}{\text{strumień wejściowy}} \quad W = \sigma \Phi$$



$W$  – prawdopodobieństwo zajścia procesu na jednostkę czasu (*transition probability*)  $[W]=1/s$  ,  
wyznaczane na podstawie Złotej Reguły Fermiego lub wyznaczane doświadczalnie  
Strumień  $\Phi$  – obliczany

Częstość (rate):

$$R = \frac{dN}{dt} = \text{strumień} \times \text{liczba cząstek tarczy} \times \text{przekrój czynny}$$

strumień = liczba cząstek padających / jednostkę czasu i powierzchni

# Przekrój czynny

Przekrój czynny:

- **inkluzywny** - gdy interesuje nas jedynie jedna obserwacja, nie znamy energii i pędów wszystkich cząstek, całkujemy po pozostałych, np. przekrój czynny na produkcję cząstek „do przodu”
- **ekskluzywny** – wszystkie parametry są zmierzone.

W wyniku zderzenia mogą powstać różne stany końcowe:

$$a + b \rightarrow \begin{cases} a + b & \text{elastyczne} \\ c_1 + d_1 & \\ c_i + d_i + e_i & \text{nieelastyczne} \end{cases}$$

są to różne kanały reakcji,  
na każdy kanał jest określony parcjalny  
przekrój czynny:  $\sigma_i$

$$\sigma_{tot} = \sum \sigma_i$$

# Rozpady

Rozpady są to procesy, w których jedna cząstka spontanicznie zmienia się w inne, typu  $a \rightarrow b + c + d$

W rozpadach interesuje nas:

- (średni) czas życia,
- sposób rozpadu,
- prawdopodobieństwo rozpadu

## czas życia:

rozpad ma charakter stochastyczny – każdy mion (np.) ma inną długość życia (nawet mion w spoczynku) i p-two rozpadu nie zależy od długości życia (rozpady eksponencjalne nie mają „pamięci”),

- można mówić p-twie na jedn.czasu, że mion się rozpadnie, czyli o *decay rate*  $\Gamma^*$ ,
- dla wielu obserwowanych rozpadów:  $dN = -\Gamma N dt$

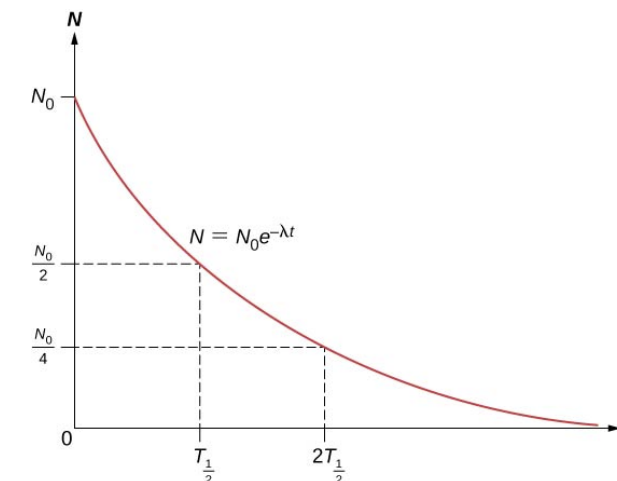
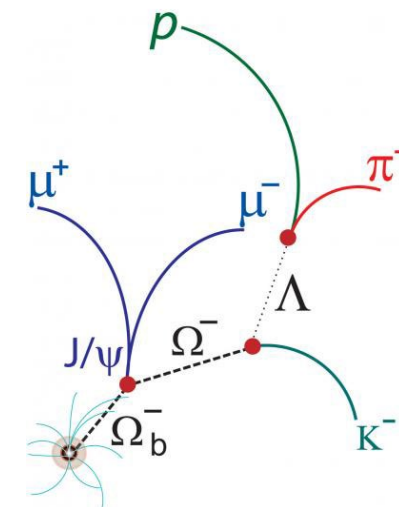
$$N(t) = N(0) e^{-\Gamma t} = N(0) e^{\frac{-t}{\tau}}$$

- mówimy o **średnim** czasie życia zgodnie z:

$$N(t) = N(0) e^{-\Gamma t} = N(0) e^{\frac{-t}{\tau}}$$

$$W = \frac{1}{\tau}$$

*\* $\Gamma$  jest to współcz. proporc. między aktualną liczbą cząstek (jąder, atomów) a szybkością, z którą ta liczba maleje i praktycznie oznacza prawdopodobieństwo procesu*

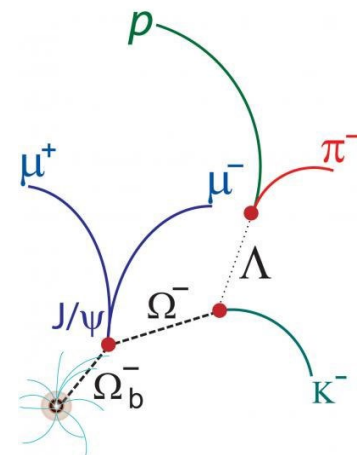




# Rozpady

- Rozważmy proces:  $a \rightarrow 1 + 2$
- Co trzeba wiedzieć, aby obliczyć przekrój czynny:
  - ✓ Stan (funkcję falową  $\Psi$ , znormalizowaną, np., do elementu objętości  $\int \Psi \Psi^* dV = N^2 = 1/a^3$ , problem?) cząstki  $a$ ,
  - ✓ prawdopodobieństwo rozpadu (element macierzowy, pierwszy rząd rachunku zaburzeń)
  - ✓ czynnik określający, czy w ogóle rozpad może zajść (gęstość stanów)

Dla rozpadów można napisać:



# Rozproszenia

Zderzenia cząstek i zderzenia z tarczą prowadzą do rozproszeń:

- **elastycznych** – ten sam stan końcowy, co początkowy, zachowana energia (kinetyczna) i pęd;
- **nieelastycznych** – stan końcowy i początkowe różnią się, pęd nie jest zachowany.

Strumień początkowy – liczba cząstek początkowych na jednostkę czasu i powierzchni.

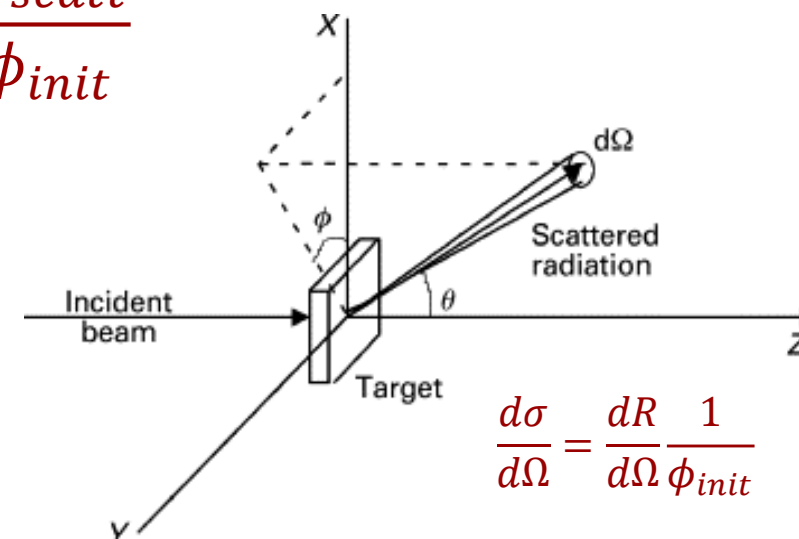
Strumień rozproszony – liczba cząstek rozproszonych w kącie bryłowym  $d\Omega$  w jednostce czasu.

A jeśli interesuje nas tylko wycinek kąta bryłowego:  
różniczkowy przekrój czynny.

$$\frac{d\sigma}{d\Omega} \equiv \frac{\phi_{scatt}}{\phi_{init}}$$

A całkowity przekrój czynny:

$$\sigma = \int \frac{d\sigma}{d\Omega} d\Omega$$



$$\frac{d\sigma}{d\Omega} = \frac{dR}{d\Omega} \frac{1}{\phi_{init}}$$

from M. Kotlarczyk



# Złota Reguła Fermiego

Złota reguła Fermiego podaje przepis na prawd-two przejścia dla reakcji na jednostkę czasu (w odniesieniu do 1. cząstki tarczy), czyli na  $W$ :

$$W = \Gamma_{fi} = 2\pi |T_{fi}|^2 \varrho(E_i)$$

$$T_{fi} = \langle f | \hat{H}' | i \rangle$$

$T_{fi}$  - element macierzowy amplitudy przejścia  $i \rightarrow f$ ,

$\hat{H}'$  - hamiltonian oddziaływania (fizyka!)

} przewidywania, teoria!

Szybkość przejścia zależy zatem od:

- macierzy przejścia (teoria oddziaływań, dynamika procesu)  $T_{fi}$ ,
- liczby dostępnych stanów (zasady zachowania), która zależy od kinematyki  $\varrho(E_i)$
- postaci stanów  $|i\rangle$  i  $|f\rangle$

# Złota Reguła Fermiego

Alternatywna postać reguły:

$$\Gamma_{fi} = 2\pi \int |T_{fi}|^2 \delta(E_i - E) dn$$

$$\Gamma_{fi} = 2\pi |T_{fi}|^2 \times (\text{phase space})$$

FGR można wyprowadzić z równań relatywistycznych i nierelatywistycznych, dla zainteresowanych [1]:

ale lepiej rozważyć „nasze” problemy:

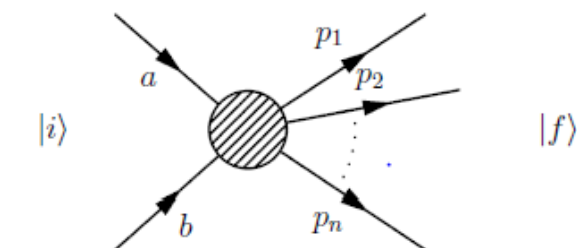
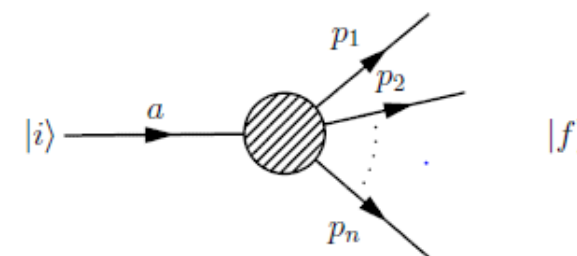
- rozpad
- rozproszenia

od strony doświadczalnej i teoretycznej

[1] <https://web2.ph.utexas.edu/~schwitte/PHY362L/QMnote.pdf>

M. Thomson, *Modern Particle Physics*

D.J.Griffiths, *Introduction to Elementary Particles*, John Wiley @ Sons 1987, p. 198



# Amplituda prawdopodobieństwa

$$T_{fi} = \langle f | \hat{H}' | i \rangle$$

- Amplituda prawdopodobieństwa przejścia ze stanu początkowego stanów  $|i\rangle$  do  $|f\rangle$

$$T_{fi} = \langle f | \hat{H}' | i \rangle = \int \Psi^*(f) \hat{H}' \Psi(i) d^3 \vec{r}$$

- W rozproszeniach elastycznych  $E_i = E_f$  - „Born approximation”:  $\Psi_{i,f}(\vec{r}) = N e^{i(\vec{p}_{i,f} \cdot \vec{r})}$

$\vec{p}_i, \vec{p}_f$  różne pędy stanów końcowego i początkowego  $\vec{p}_i - \vec{p}_f = \Delta \vec{p} \equiv q$

$$T_{fi} = \int \Psi^*(f) V(\mathbf{r}) \Psi(i) d^3 \vec{r} = \int \Psi_{i,f}(\vec{r}) = N e^{i(\Delta \vec{p} \cdot \vec{r})} V(\mathbf{r}) d^3 \vec{r}$$

- Jaka może być postać potencjału  $V(\mathbf{r})$ ?

np. potencjał Yukawy:  $V(r) = -\frac{g^2}{4\pi} \frac{1}{r} e^{-mr}$

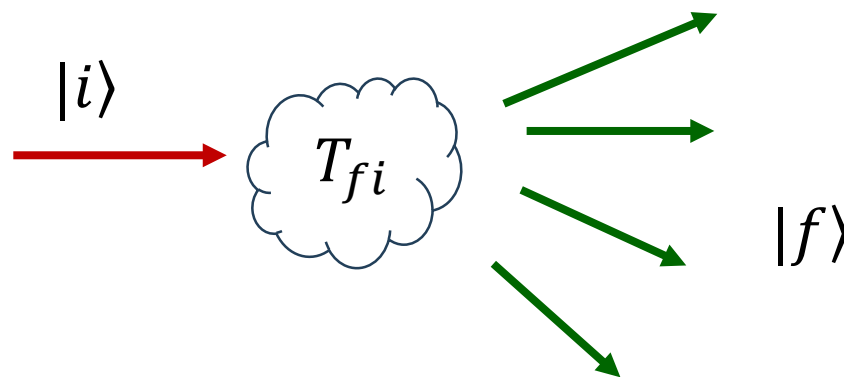
$$i \frac{\partial \Psi(\vec{r}, t)}{\partial t} = \hat{H} \Psi(\vec{r}, t)$$

$$i \frac{\partial \Psi_i}{\partial t} = E_i \Psi$$

$$\Psi_i(\vec{r}, t) = N \phi(\vec{r}) e^{i E_i t}$$

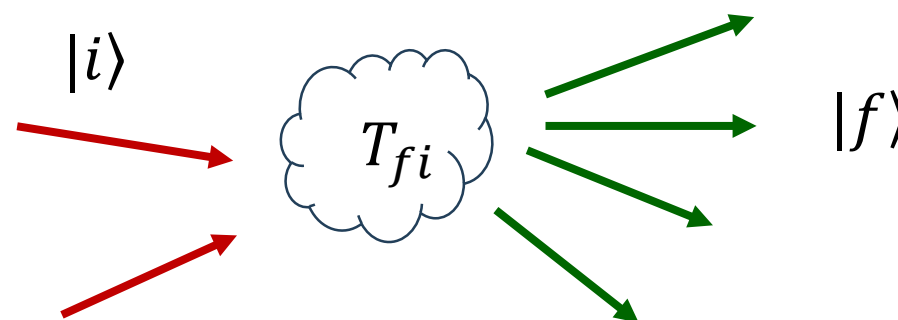
# Prawdopodobieństwa procesów

Rozpady



fizyka  $\Gamma_{fi} \sim |M_{fi}|^2 \times \text{kinematyka}$

Rozproszenia



$\sigma_{fi} \sim |M_{fi}|^2 \times \text{kinematyka}$

Uwaga:

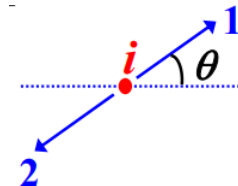
- $T_{fi}$  powinno być lorentzowsko niezmiennicze, wtedy mamy  $M_{fi}$
- kinematyka – wszystkie stany dozwolone z zasad zachowania

# Prawdopodobieństwa procesów

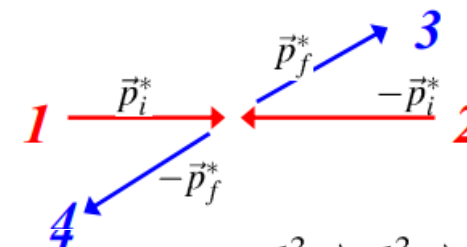
## Rozpady

$$\Gamma_{fi} = \frac{(2\pi)^4}{2E_i} \int |M_{fi}|^2 \delta(E_i - E_1 - E_2) \delta^3(\vec{p}_i - \vec{p}_1 - \vec{p}_2) \frac{d^3\vec{p}_1}{(2\pi)^3 2E_1} \frac{d^3\vec{p}_2}{(2\pi)^3 2E_2}$$

$$\Gamma_{fi} = \frac{1}{32\pi^2 E_i} \int |M_{fi}|^2 \delta\left(m_i - \sqrt{m_1^2 + p_1^2} - \sqrt{m_2^2 + p_1^2}\right) \frac{p_1^2 dp_1 d\Omega}{E_1 E_2}$$



## Rozproszenia



$$\sigma = \frac{(2\pi)^{-2}}{2E_1 2E_2 (v_1 + v_2)} \int |M_{fi}|^2 \delta(E_1 + E_2 - E_3 - E_4) \delta^3(\vec{p}_1 + \vec{p}_2 - \vec{p}_3 - \vec{p}_4) \frac{d^3\vec{p}_3}{2E_3} \frac{d^3\vec{p}_4}{2E_4}$$

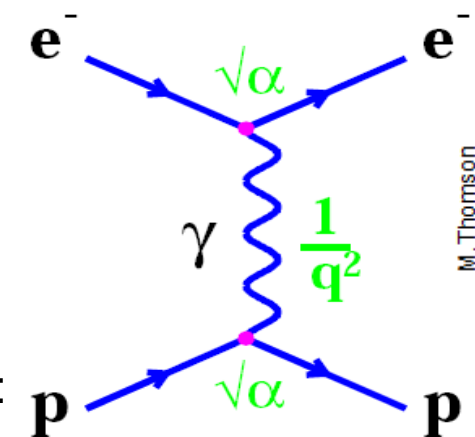
• Here  $\vec{p}_1 + \vec{p}_2 = 0$  and  $E_1 + E_2 = \sqrt{s}$

$$\Rightarrow \sigma = \frac{(2\pi)^{-2}}{4|\vec{p}_i^*| \sqrt{s}} \int |M_{fi}|^2 \delta(\sqrt{s} - E_3 - E_4) \delta^3(\vec{p}_3 + \vec{p}_4) \frac{d^3\vec{p}_3}{2E_3} \frac{d^3\vec{p}_4}{2E_4}$$

[M.Thomson](#)

# Diagramy Feynmana

1. Oddziaływanie zachodzi, gdy następuje:
  - wymiana energii i pędu między cząstkami,
  - kreacja lub anihilacja cząstek.
2. Oddziaływanie zachodzi poprzez wymianę wirtualnych cząstek
3. Każde rzeczywiste oddziaływanie (np. **rozpraszanie** elektron-proton) składa się z:
  - dwóch linii zewnętrznych reprezentujących funkcje falowe cząstek,
  - dwóch wierzchołków, każdy proporcjonalny do siły oddziaływania,
  - linii wewnętrznej opisującej wirtualną wymienianą cząstkę.
4. Werteksy i strzałki są tylko symbolami, nie reprezentują śladów cząstek w przestrzeni.
5. Diagramy czytamy od lewej do prawej strony (strzałka czasu) – z lewej strony mamy cząstki przed oddziaływaniem, z prawej – po nim (czasem konwencja biegu czasu góra-dół).
6. Z lewej strony wierzchołka - strzałka skierowana do wierzchołka oznacza cząstkę wchodzącą do oddziaływania, strzałka od wierzchołka reprezentuje antycząstkę wchodzącą do oddziaływania.
7. Z prawej strony (czyli po oddziaływaniu) – odpowiednio odwrotnie.



A teraz popatrzmy na niezwykle cechy diagramów Feynmana:

# Diagramy Feynmana

1. Oddziaływanie zachodzi, gdy następuje:

- wymiana energii i pędu między cząstkami,
- kreacja lub anihilacja cząstek.

2. Oddziaływanie zachodzi poprzez wymianę wirtualnych cząstek

3. Każde rzeczywiste oddziaływanie składa się z:

- dwiema wierzchołkami, których proporcjonalność do siły oddziaływania,
- dwiema wierzchołkami, których proporcjonalność do siły oddziaływania,
- linii wewnętrznej opisującej wirtualną wymienianą cząstkę.

**Zamiast rozpraszania elektron – proton -  
proces opisujący anihilację protonów**

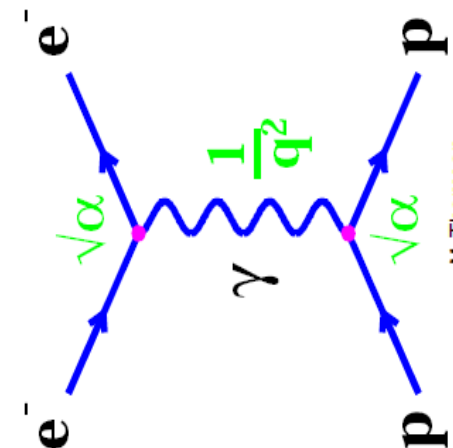
4. Werteksy i strzałki są tylko symbolami, nie reprezentują śladów cząstek w przestrzeni.

5. Diagramy czytamy od lewej do prawej strony (strzałka czasu) – z lewej strony mamy cząstki przed oddziaływaniem, z prawej – po nim (czasem konwencja biegu czasu góra-dół).

6. Z lewej strony wierzchołka - strzałka skierowana do wierzchołka oznacza cząstkę wchodzącą do oddziaływania, strzałka od wierzchołka reprezentuje antycząstkę wchodzącą do oddziaływania.

7. Z prawej strony (czyli po oddziaływaniu) – odpowiednio odwrotnie.

A teraz popatrzmy na niezwykle cechy diagramów Feynmana:



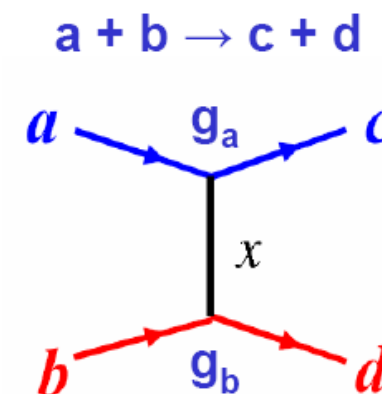
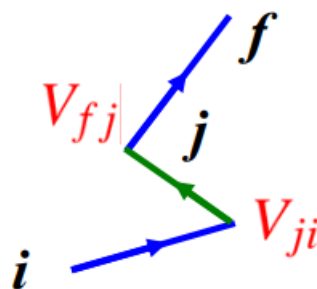
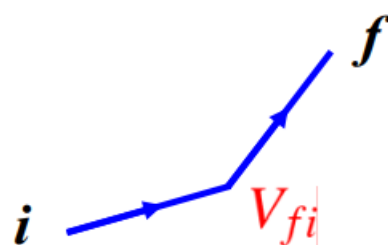
# Rozpraszanie z wymianą cząstki

$$\Gamma_{fi} = 2\pi |T_{fi}|^2 \varrho(E_f)$$

$$T_{fi} = \langle f | \widehat{H}' | i \rangle + \sum_{i \neq j} \frac{\langle f | \widehat{H}' | j \rangle \langle j | \widehat{H}' | i \rangle}{E_i - E_j} + \dots$$

$\downarrow$   
 Rozpraszanie na potencjale

$\downarrow$   
 Rozpraszanie poprzez stan pośredni  $j$



$$q^2 = (p_a - p_c)^2 = (E_a - E_c)^2 - (\vec{p}_a - \vec{p}_c)^2 \equiv t \leq 0$$



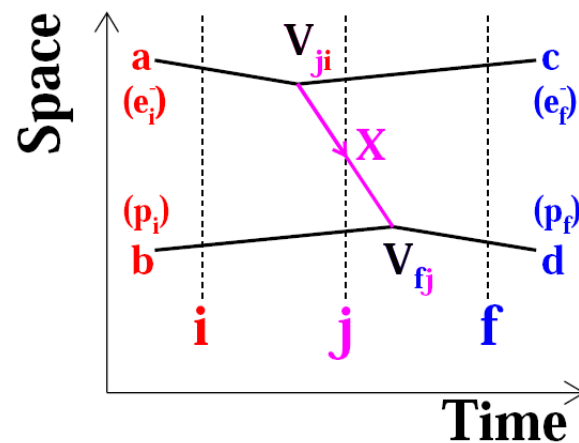
# Rozpraszanie z wymianą cząstki

$$T_{fi} = \langle f | \widehat{H}' | i \rangle + \sum_{i \neq j} \frac{\langle f | \widehat{H}' | j \rangle \langle j | \widehat{H}' | i \rangle}{E_i - E_j} + \dots$$

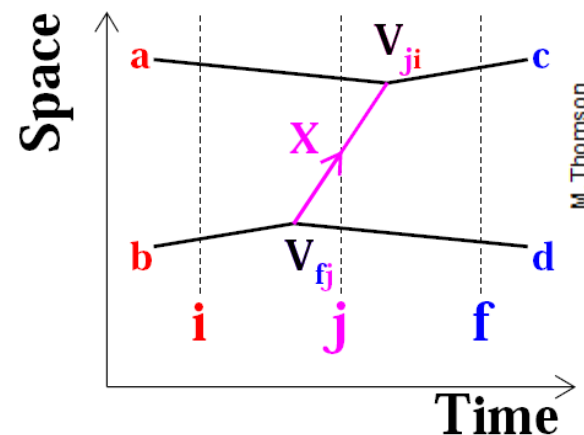
Rozpraszanie  
na potencjale



Rozpraszanie poprzez  
stan pośredni j



+



$$M_{fi} = \frac{g_a g_b}{(E_a - E_c)^2 - (\vec{p}_a - \vec{p}_c)^2 - m_X^2}$$

+

$$M_{fi} = \frac{g_a g_b}{(E_b - E_d)^2 - (\vec{p}_b - \vec{p}_d)^2 - m_X^2}$$

# Rozpraszanie z wymianą cząstki

Dla wszystkich diagramów, w różnej kolejności czasowej, element w postaci niezmienniczej:

$$M_{fi} = \frac{g_a g_b}{(E_a - E_c)^2 - (\vec{p}_a - \vec{p}_c)^2 - m_X^2} = \frac{g_a g_b}{(P_a - P_c)^2 - m_X^2}$$

czteropędy cząstki początkowej i końcowej

gdy zapiszemy:  $P_a - P_c = q$

to  $q$  rozumiane jest jako czteropęd wymienianej cząstki, co daje:

Masa wymienianej cząstki X zależy od energii i pędu rozpraszanych cząstek.  
Co to oznacza?

$$M_{fi} = \frac{g_a g_b}{q^2 - m_X^2}$$

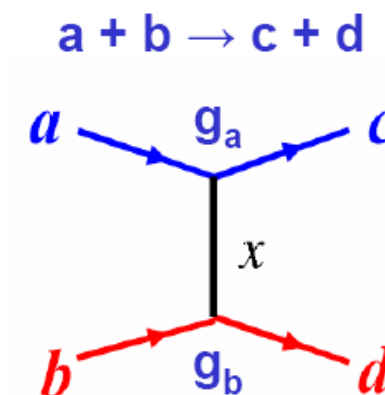
czynnik

$$\frac{1}{q^2 - m_X^2}$$

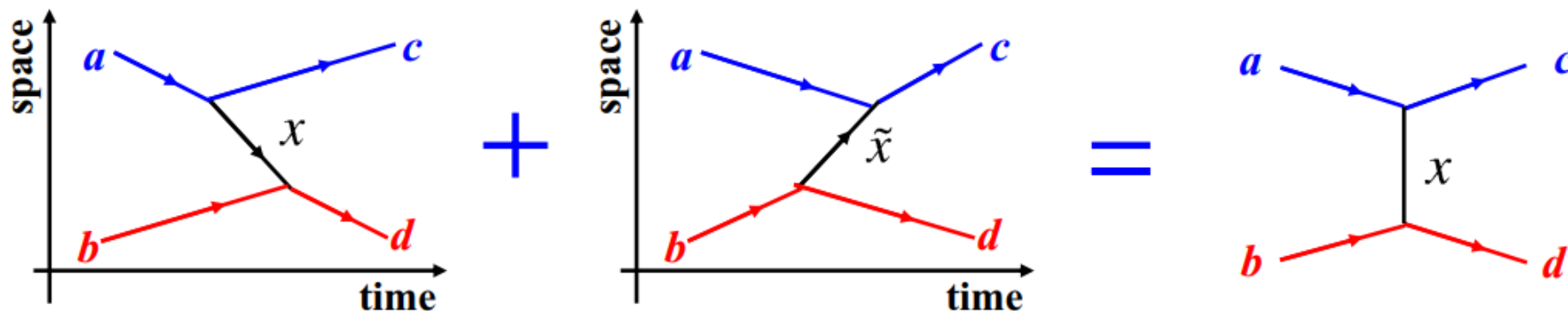
nazywamy **PROPAGATOREM**

Element macierzowy oddziaływania z dwoma wierzchołkami zależy od:

- kwadratu przekazanego czteropędu,
- masy wymienianej cząstki,
- siły oddziaływania w każdym wierzchołku



# Oddziaływania z wymiana cząstek



Diagramy o określonym porządku czasowym emisji i absorpcji X:

- nie są lorenzowskoo niezmiennicze (czas jest wyróżniony)
- pęd jest zachowany
- energia nie jest zachowana
- wymieniana cząstka X jest „na powłoce masy”:  
 $E_x^2 = p_x^2 + m_X^2$

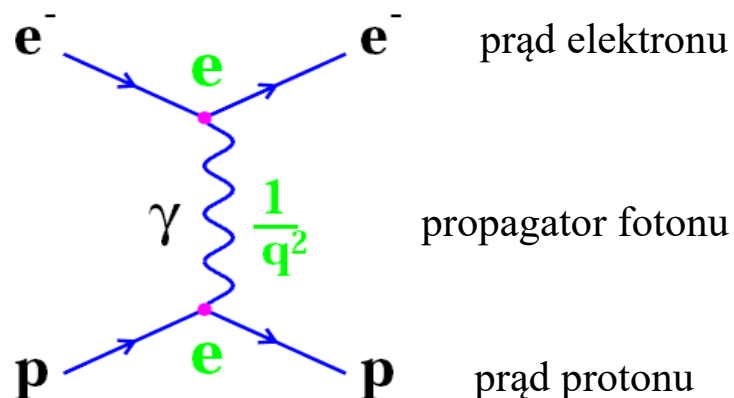
W sumie diagramów:

- element  $M_{fi}$  jest LI,
- energia i pęd są zachowane w każdym wierzchołku,
- wymieniana cząstka X jest wirtualna, poza powłoką masy  $E_x^2 \neq p_x^2 + m_X^2$ .
- Oddziaływania zachodzą, gdy wymienianą cząstką jest odpowiedni bozon pośredniczący: foton, bozony  $W^\pm$ ,  $Z^0$ , gluony

# Oddziaływania elektromagnetyczne

- Oddz. elektromagnetyczne zachodzą poprzez wymianę (wirtualnego) fotonu
- Element macierzowy  $M_{fi}$  faktoryzuje się na trzy czynniki, np. w:

## ROZPRASZANIU elektron-proton



$$M_{ep} = \langle \psi_c | V | \psi_a \rangle \frac{1}{q^2 - m_X^2} \langle \psi_d | V | \psi_b \rangle$$

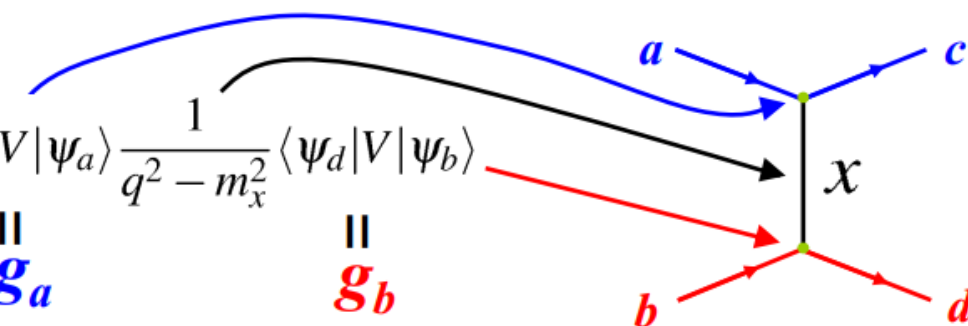
$$M \propto \alpha (p_1 + p_2) \frac{1}{q^2} (p_3 + p_4)$$

- Każdy wierzchołek **opisuje prawdopodobieństwo emisji fotonu**. Jest ono proporcjonalne do propagatora fotonu.
- Propagator określa, jak bardzo cząstka jest wirtualna (poza powłoką). Im większa wirtualność, tym mniejsza szansa produkcji takiej cząstki.
- Jednocześnie najbardziej prawdopodobna jest emisja fotonu mało wirtualnego ( $q^2 = 0$  – fotony prawie-rzeczywiste)

- Previously with the example of a simple spin-less interaction we had:

$$M = \langle \psi_c | V | \psi_a \rangle \frac{1}{q^2 - m_x^2} \langle \psi_d | V | \psi_b \rangle$$

$\parallel$   $g_a$                        $\parallel$   $g_b$



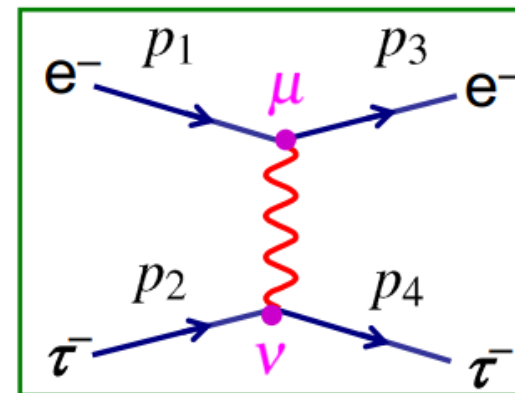
- ★ In QED we could again go through the procedure of summing the time-orderings using Dirac spinors and the expression for  $\hat{V}_D$ . If we were to do this, remembering to sum over all photon polarizations, we would obtain:

$$M = [u_e^\dagger(p_3) q_e \gamma^0 \gamma^\mu u_e(p_1)] \sum_\lambda \frac{\epsilon_\mu^\lambda (\epsilon_\nu^\lambda)^*}{q^2} [u_\tau^\dagger(p_4) q_\tau \gamma^0 \gamma^\nu u_\tau(p_2)]$$

Interaction of  $e^-$  with photon

Massless photon propagator summing over polarizations

Interaction of  $\tau^-$  with photon









- All the physics of **QED** is in the above expression !



$$M = [\bar{u}_e(p_3) q_e \gamma^\mu u_e(p_1)] \frac{-g_{\mu\nu}}{q^2} [\bar{u}_\tau(p_4) q_\tau \gamma^\nu u_\tau(p_2)]$$

# Basic Rules for QED

## External Lines

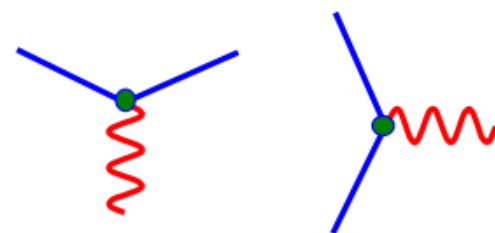
spin 1/2	{	incoming particle	$u(p)$	
		outgoing particle	$\bar{u}(p)$	
		incoming antiparticle	$\bar{v}(p)$	
		outgoing antiparticle	$v(p)$	
spin 1	{	incoming photon	$\epsilon^\mu(p)$	
		outgoing photon	$\epsilon^\mu(p)^*$	

## Internal Lines (propagators)

spin 1	photon	$-\frac{ig_{\mu\nu}}{q^2}$	
spin 1/2	fermion	$\frac{i(\gamma^\mu q_\mu + m)}{q^2 - m^2}$	

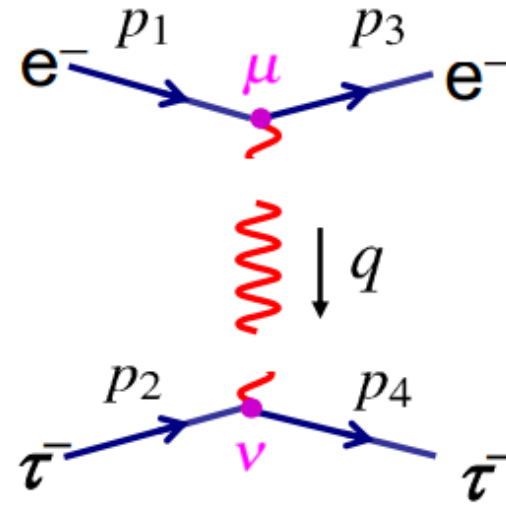
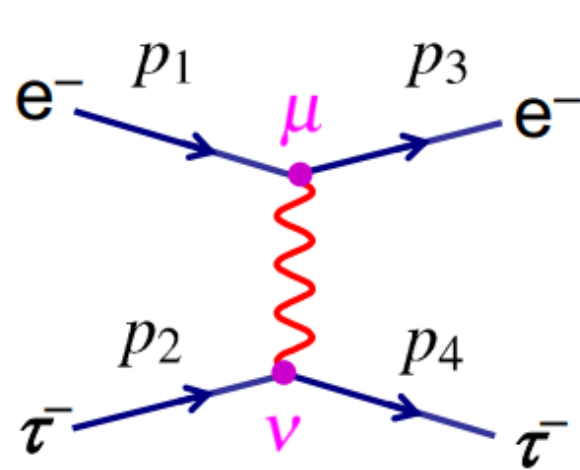
## Vertex Factors

spin 1/2	fermion (charge -e)	$ie\gamma^\mu$
----------	---------------------	----------------



Matrix Element  $-iM = \text{product of all factors}$

e.g.



$$\bar{u}_e(p_3)[ie\gamma^\mu]u_e(p_1)$$

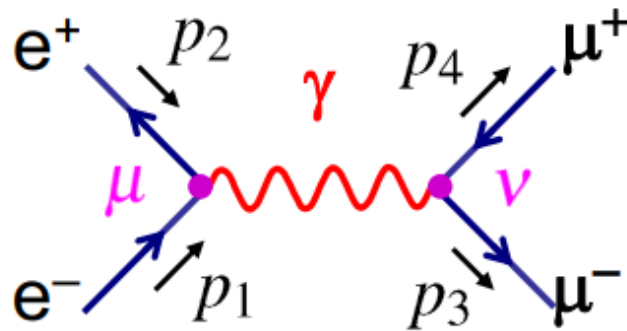
$$\frac{-ig_{\mu\nu}}{q^2}$$

$$\bar{u}_\tau(p_4)[ie\gamma^\nu]u_\tau(p_2)$$

$$-iM = [\bar{u}_e(p_3)ie\gamma^\mu u_e(p_1)] \frac{-ig_{\mu\nu}}{q^2} [\bar{u}_\tau(p_4)ie\gamma^\nu u_\tau(p_2)]$$

• Which is the same expression as we obtained previously

e.g.



$$-iM = [\bar{v}(p_2)ie\gamma^\mu u(p_1)] \frac{-ig_{\mu\nu}}{q^2} [\bar{u}(p_3)ie\gamma^\nu v(p_4)]$$

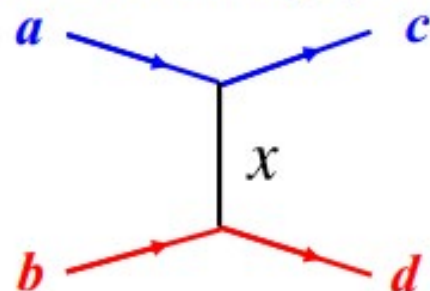
Note:

- ♦ At each vertex the adjoint spinor is written first
- ♦ Each vertex has a different index
- ♦ The  $g_{\mu\nu}$  of the propagator connects the indices at the vertices



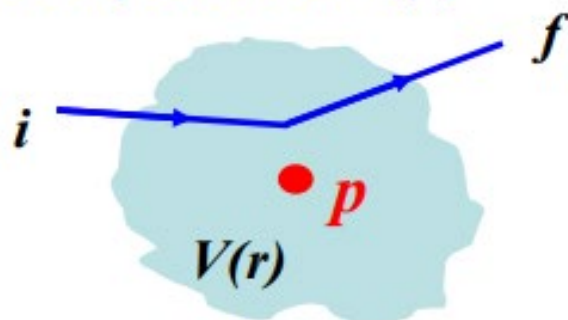
★ Can view the scattering of an electron by a proton at rest in two ways:

- Interaction by particle exchange in 2<sup>nd</sup> order perturbation theory.



$$M_{fi} = \frac{g_a g_b}{q^2 - m_x^2}$$

- Could also evaluate the same process in first order perturbation theory treating proton as a fixed source of a field which gives rise to a potential  $V(r)$



$$M = \langle \psi_f | V(r) | \psi_i \rangle$$

Obtain same expression for  $M_{fi}$  using

$$V(r) = g_a g_b \frac{e^{-mr}}{r}$$

**YUKAWA  
potential**

- ★ In this way can relate potential and forces to the particle exchange picture
- ★ However, scattering from a fixed potential  $V(r)$  is not a relativistic invariant view



## W podsumowaniu

- Oddziaływania elektromagnetyczne opisywane są w ramach kwantowej pola - elektrodynamiki kwantowej (QED).
- QED jest teorią pola opartą na grupie cechownia  $U(1)$ .
- Oddziaływania pomiędzy cząstkami zachodzą poprzez wymianę cząstki pośredniczącej, a lorenzowsko niezmienniczy (LI) element macierzowy ma postać:

$$M_{fi} = \frac{g_a g_b}{q^2 - m_x^2}$$

- Podstawowe oddz. elm. pomiędzy naładowanymi fermionami daje równanie:

$$-iM = [\bar{u}(p_3)ie\gamma^\mu u(p_1)] \frac{-ig_{\mu\nu}}{q^2} [\bar{u}(p_4)ie\gamma^\nu u(p_2)]$$

- QED jest teorią w pełni przeliczalną i wzorem dla opisu oddz. silnych i słabych (elektrosłabych)

**Zapraszam na dalsze kursy  
związane z fizyką i detekcją  
cząstek elementarnych !**